УДК 621.315

# ЭЛЕКТРОННЫЕ СОСТОЯНИЯ В СФЕРИЧЕСКИХ КВАНТОВЫХ ТОЧКАХ С ВУД-САКСОНОВСКИМ ОГРАНИЧИВАЮЩИМ ПОТЕНЦИАЛОМ

#### Л.С. ПЕТРОСЯН

Ереванский государственный университет

(Поступила в редакцию 2 февраля 2002 г.)

Исследованы электронные состояния в сферических квантовых точках с вуд-саксоновским ограничивающим потенциалом. Выявлен пороговый характер появления энергетических уровней электрона внутри квантовых точек. Изучены зависимости энергии электрона от радиуса квантовой точки и высоты ограничивающего потенциала. Учтена зависимость эффективной массы электрона от координаты r.

#### Введение

С развитием нанотехнологий стало возможным выращивание размерно-квантованных структур различных размерностей и геометрических форм. В последние годы наиболее активно исследуемыми размерноквантованными системами являются полупроводниковые квантовые точки (КТ). Эти структуры выращены в различных диэлектрических средах, и поскольку их геометрические размеры сравнимы с дебройлевскими длинами волн носителей заряда (НЗ), находящихся в них, то энергетический спектр последних является полностью квантованным. Вид энергетического спектра во многом зависит от модели ограничивающего потенциала (ОП) КТ. Надо отметить, что форма этого потенциала зависит от метода выращивания КТ [1]. В связи с вышесказанным при изучении поведения частицы в КТ важную роль играет правильная теоретическая аппроксимация ОП ямы. Разными авторами были предложены различные модели ОП (см., напр., [2-6]).

Наиболее интенсивно исследуемыми КТ являются структуры из GaAs, выращенные в  $Ga_{1-x}Al_xAs$ . Для них часто используется модель сферической прямоугольной ямы конечной глубины [2]. Здесь подразумевается что сама КТ – чистый полупроводник GaAs, а окружает ее сплав  $Ga_{1-x}Al_xAs$ , где x – концентрация Al. Иначе говоря, подразумевается что концентрация Al скачкообразно возрастает от 0 внутри КТ до x внутри сплава. Ясно, что в реальных КТ такого поведения концентрации техно-

логически добиться очень трудно. Концентрация и вместе с нею характер ОП (т.к.  $U = Ax = 1.247 \cdot 0.6 \cdot x$  для  $Ga_{1-x}Al_xAs$ ) меняются непрерывным образом [6]. Теоретически такую модель ОП можно построить с помощью потенциала Вуда-Саксона (ВС) U(r) = Ax(r),  $x(r) = x_0(e^{(r-r_0)/a} - e^{-r_0/a})/(1 + e^{(r-r_0)/a})$ , где  $x_0$  — максимальная концентрация AI внутри сплава,  $U_0 = Ax_0$  — высота барьера (рис.1) [7]. Этот потенциал использовался в ядерной физике для описания взаимодействия нейтрона с тяжелым ядром. Параметр  $r_0$  интерпретируется как радиус ядра (в рассматриваемом случае — радиус КТ), другой параметр a характеризует толщину поверхностного слоя, внутри которого потенциал падает от  $U = U_0$  снаружи ядра (КТ) до значения U = 0 внутри ядра (КТ). При a = 0 получается простая потенциальная яма со скачком потенциала на поверхности ядра (КТ).

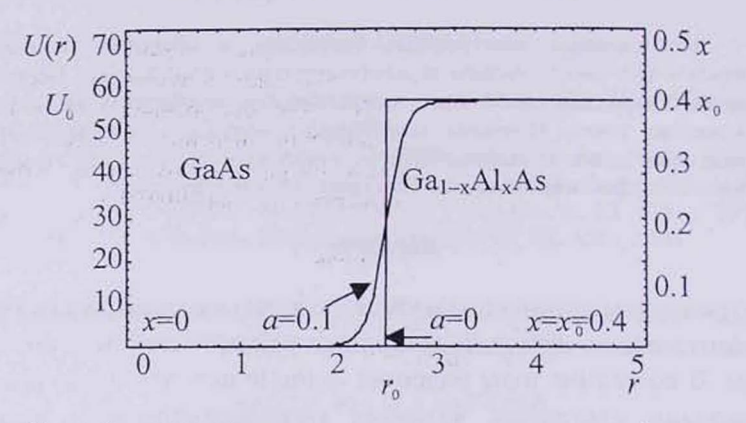


Рис.1 Зависимость концентрации A1 и потенциальной энергии от координаты r для a=0.1 и a=0 (прямоугольная яма конечной глубины).

Отметим что эффективная масса (ЭМ) НЗ в  $Ga_{1-x}Al_xAs$  тоже зависит от концентрации Al линейным образом:  $\mu(r) = (0.067 + 0.083x(r))m_e$ , где  $m_e$  – масса свободного электрона.

В настоящей работе исследуются электронные уровни в сферических квантовых точках с ВС ОП.

# Теория

Рассмотрим электронные уровни в КТ с ВС ОП. Так как с учетом зависимости ЭМ от координаты r уравнение Шредингера усложняется и не имеет аналитического решения, то мы будем подразумевать, что  $\mu_1 = \mu(x=0) = 0.067 m_e$  внутри КТ и  $\mu_2 = \mu(x=x_0) = (0.067 + 0.083 x_0) m_e$  вне ее. Тогда уравнение Шредингера для случая l=0 (l — орбитальное квантовое число) имеет аналитическое решение. Для радиальных волновых функций электрона внутри и вне КТ уравнение Шредингера имеет

вид

$$\frac{d^{2}R_{1}}{dr^{2}} + \frac{2}{r} \frac{dR_{1}}{dr} + \frac{2\mu_{1}}{\hbar^{2}} (E - U(r))R_{1} = 0, \quad r < r_{0},$$

$$\frac{d^{2}R_{2}}{dr^{2}} + \frac{2}{r} \frac{dR_{2}}{dr} + \frac{2\mu_{2}}{\hbar^{2}} (E - U(r))R_{2} = 0, \quad r > r_{0}.$$
(2)

С ВС потенциалом оно имеет следующее решение [7]:

$$R(r) = \frac{C}{r} \begin{cases} f_{11} + Af_2, & r < r_0, \\ Bf_{12}, & r > r_0, \end{cases}$$
 (3)

где С - постоянная нормировки, и сделаны следующие обозначения:

$$f_{11} = y^{\beta_1} (1 - y)^{\alpha_1} {}_2 F_1 [\alpha_1 + \beta_1, \alpha_1 + \beta_1 + 1, 2\beta_1 + 1; y] ,$$

$$f_{12} = y^{\beta_2} (1 - y)^{\alpha_2} {}_2 F_1 [\alpha_2 + \beta_2, \alpha_2 + \beta_2 + 1, 2\beta_2 + 1; y] ,$$

$$f_2 = y^{-\beta_1} (1 - y)^{\alpha_1} {}_2 F_1 [\alpha_1 - \beta_1, \alpha_1 - \beta_1 + 1, -2\beta_1 + 1; y] ,$$

$$y = \frac{1}{1 + e^{\frac{r-r_0}{a}}}, \quad \beta_1 = a \sqrt{\frac{2\mu_1(U_0 - E)}{\hbar^2}}, \quad \alpha_1 = a \sqrt{\frac{2\mu_1(e^{-\frac{r_0}{a}}U_0 + E)}{\hbar^2}},$$

$$\beta_2 = \sqrt{m_0} \beta_1, \qquad \alpha_2 = \sqrt{m_0} \alpha_1, \qquad m_0 = \frac{\mu_2}{\mu_1},$$

$$A = \left(\frac{f_{11}(\frac{f_{12}}{r})' - m_0 f_{12}(\frac{f_{11}}{r})'}{m_0 f_{12}(\frac{f_{22}}{r})' - f_2(\frac{f_{11}}{r})'}\right)_{r=r_0}, \quad B = m_0 \left(\frac{f_{11}(\frac{f_2}{r})' - f_2(\frac{f_{11}}{r})'}{m_0 f_{12}(\frac{f_2}{r})' - f_2(\frac{f_{12}}{r})'}\right)_{r=r_0}.$$

Здесь уже учтена непрерывность волновой функции и ее производной в точке  $r = r_0$ . Энергетические уровни электрона можно определить из граничного условия в точке r = 0, т.е.  $rR(r)|_{r=0} = 0$ .

Чтобы учесть также зависимость ЭМ Н3 от r (от x) будем использовать метод теорий возмущений, применяемый в ядерной физике для расчета смещения энергетического уровня K-электрона в тяжелых атомах, обусловленного конечностью радиуса ядра [7]. Тогда гамильтониан данной задачи можно представить в виде

$$\hat{H} = \hat{\mathbf{P}} \frac{1}{2\mu(r)} \hat{\mathbf{P}} + U(r) = -\frac{\hbar^2}{2\mu_1} \Delta - \frac{\hbar^2}{2\mu(r)} (1 - \mu_0(r)) \Delta + \frac{\hbar^2}{2\mu(r)} \frac{\mu'_0(r)}{\mu_0(r)} \frac{\partial}{\partial r} + U(r), \quad (4)$$

где  $\mu_0(r) = \mu(r) / \mu_1$ . В качестве невозмущенной задачи будем рассматривать состояние электрона в прямоугольной потенциальной яме (ППЯ) с

$$\mu_1(r) = \begin{cases} \mu_1, & r < r_0 \\ \mu_2, & r > r_0 \end{cases}$$
 и  $U_1(r) = \begin{cases} 0, & r < r_0, \\ U_0, & r > r_0, \end{cases}$  а как возмущенную — задачу, в

которой ЭМ  $\mu_2(r)$  и ОП  $U_2(r)$  меняются по закону ВС соответственно от  $\mu_1$  до  $\mu_2$  и от 0 до  $U_0$ . Тогда гамильтониан возмущенной задачи можно представить как сумму гамильтониана невозмущенной задачи и энергии возмущения, которая равна разности гамильтонианов вышеперечисленных двух задач, т.е.  $\hat{H}_2 = \hat{H}_1 + \hat{V}$ , где возмущение имеет вил

$$\hat{V} = -\frac{\hbar^2}{2\mu_1} \Delta \left( \frac{1}{\mu_2(r)} - \frac{1}{\mu_1(r)} \right) + \frac{\hbar^2}{2\mu_1} \left( \frac{\mu_2'(r)}{\mu_2^2(r)} - \frac{\mu_1'(r)}{\mu_1^2(r)} \right) \frac{\partial}{\partial r} + U_2(r) - U_1(r). \tag{5}$$

Полная энергия возмущенной задачи имеет вид  $E_{nl}=E_{nl}^0+E_{nl}^1$ , где  $E_{nl}^0$  – энергетические уровни НЗ в ППЯ,  $E_{nl}^1=V_{nl}=\int \Psi^* \hat{V} \Psi dv$  – поправки к энергии  $E_{nl}^0$  (матричные элементы оператора возмущения).

### Обсуждение результатов

На рис.2 представлены графики зависимостей энергии электрона E от радиуса КТ  $r_0$  (в эффективных боровских единицах  $E_{R1}, a_{R1}$ , соответствующих первой среде) при фиксированных параметрах  $x_0=0.4$ , a=0.14. Сплошные линии соответствуют ВС ОП для двух случаев:  $\mu_1=\mu_2$  (вверху) и  $\mu_1\neq\mu_2$  (внизу). Уровни в КТ появляются, начиная с некоторого порогового значения  $r_0$ . Уровни с  $\mu_1=\mu_2$  расположены не-

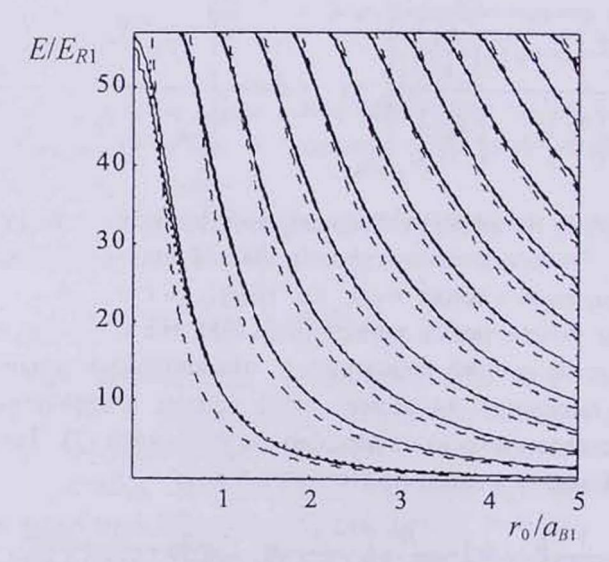


Рис.2. Зависимость энергии электрона от радиуса КТ.

много выше по сравнению со случаем  $\mu_1 \neq \mu_2$ , т.к.  $\mu_2 > \mu_1$  и энергия НЗ во второй среде обратно пропорциональна  $\mu_2$ . Это различие уменьшается при больших  $r_0$  и при малых E. Прерывающиеся кривые соответствуют случаю ППЯ. Так как при не слишком больших энергиях потенциал ВС расположен выше ППЯ, то графики, соответствующие ему, до некоторого порогового E расположены выше. При увеличении  $r_0$  имеет место обратная картина и, как видно из рисунка, уровни в ППЯ появляются позже. Эти различие уменьшается при больших  $r_0$ , и кривые сливаются. Наконец, точечная линия соответствует случаю, когда учтена зависимость  $\mu(r)$  (n=l=m=0). Как видно из рисунка, вышеупомянутые свойства сохраняются, и кривые довольно хорошо согласуются друг с другом.

Данная работа выполнена при поддержке программы INTAS-99-00928 и гранта ANSEF (Armenian National Science and Education Fund) PS24-01.

#### ЛИТЕРАТУРА

- 1. J.A.Barker and E.P.O'Reilly. Physica E, 4, 231 (1999).
- 2. S.V.Branis et al. Phys. Rev. B, 47, 1316 (1999).
- 3. K.G.Dvoyan and E.M.Ghazaryan. Phys. Stat. Sol. (b), 228, 695 (2001).
- 4. P.A.Maksym and T.Chakraborty. Phys. Rev. Lett., 65, 108 (1990).
- 5. E.M.Ghazaryan, L.S.Petrosyan and H.A.Sarkisyan. Proc. Int. Coll. GROUP23, Dubna, 1, 43 (2001).
- 6. S.Vlaev and D.A.Contreras-Solorio. J. Appl. Phys., 82, 3853 (1997).
- 7. З.Флюгге. Задачи по квантовой механике, т.1. М., Мир, 1974.

# ԷԼԵԿՏՐՈՆԱՅԻՆ ՎԻԾԱԿՆԵՐԸ ՎՈՒԴ-ՍԱԶՍՈՆԻ ՍԱՀՄԱՆԱՓԱԿՈՂ ՊՈՏԵՆՑԻԱՐՎ ԳՆԳԱՅԵՆ ՔՎԵՍԵՏԱՅԻՆ ԿԵՏԵՐՈՒՄ

#### L.U. ՊԵՏՐՈՍՅԱՆ

Ուսումնասիրված են էլեկտրոնային վիճակները Վուդ-Սաքսոնի սահմանափակող պոտենցիալով գնդային քվանտային կետերում։ Բացահայտված է քվանտային կետերի ներսում վիճակների առաջացման շեմային բնույթը։ Ուսումնասիրված է էլեկտրոնի էներգիայի կախվածությունը քվանտային կետերի շառավոից և սահմանափակող պոտենցիալի բարձրությունից։ Հաշվի է առնված էլեկտրոնի արդյունարար զանգվածի կախվածությունը r կոորդինատից։

# ELECTRON STATES IN SPHERICAL QUANTUM DOTS WITH WOOD-SAXON'S CONFINEMENT POTENTIAL

#### L.S. PETROSYAN

Electron states in spherical quantum dots with Wood-Saxon's confinement potential are studied. The threshold habit of level appearance inside the dots is revealed. The electron energy dependences on the QD's radius and confinement potential height are studied.